









UNIVERSITY OF NAPLES FEDERICO II 1224 A.D.

Propulsione Aerospaziale

T. Astarita

astarita@unina.it www.docenti.unina.it

Versione del 4.3.2024

Termodinamica

Il fluido all'interno di un motore aerospaziale può essere modellato come un **Gas perfetto**. Le ipotesi fondamentali sono:

- Le forze intermolecolari sono piccole;
- Il volume proprio delle molecole può essere trascurato rispetto al volume occupato dal gas.

In queste ipotesi la prima equazione di stato è:

$$p = \rho RT$$

Dove *R* è la costante dei gas che può essere espressa in termini della costante universale dei gas:

$$R = \frac{\bar{R}}{MW} \qquad \bar{R} = 8314.5 \frac{J}{kmol \cdot K}$$

La seconda equazione di stato è una fra le seguenti:

$$dh = c_p dT$$
 $de = c_v dT$

Dove c_p e c_v sono i **calori specifici** a pressione e volume costante, mentre h ed e sono **l'entalpia** e **l'energia** interna (h = e + pv).



In generale:

$$c_p = c_p(T)$$
 $c_v = c_v(T)$

Nell'ipotesi di gas più che perfetto i calori specifici sono costanti e la seconda equazione di stato può essere espressa come:

$$h = h_0 + c_p T \qquad e = e_0 + c_p T$$

Le tre costanti sono legate dalla relazione di Meyer:

$$c_p = c_v + R$$

Il rapporto fra i calori specifici è indicato con:

$$\gamma = \frac{c_p}{c_v}$$

Si ha anche con $k = \frac{\gamma - 1}{\gamma}$:

$$c_p = \frac{\gamma}{\gamma - 1}R = \frac{1}{k}R$$
 $c_v = \frac{1}{\gamma - 1}R$



Propulsione Aerospaziale – PA0_1 Richiami Gas - astarita@unina.it

3

Termodinamica

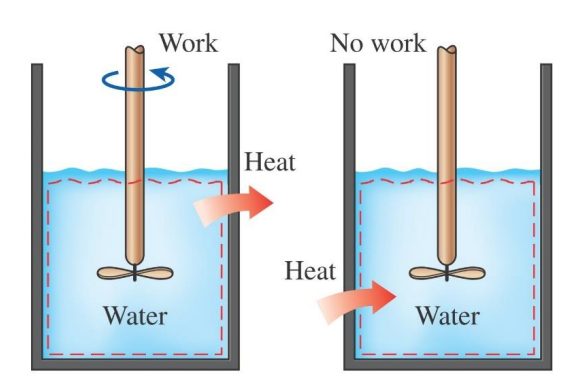
Per un sistema a massa costante, il primo principio della termodinamica è:

$$de = \delta q - \delta w$$

Dove per convenzione si considerano positivi il flusso di calore entrante δq nel sistema ed il lavoro δw fornito (uscente) dal sistema.

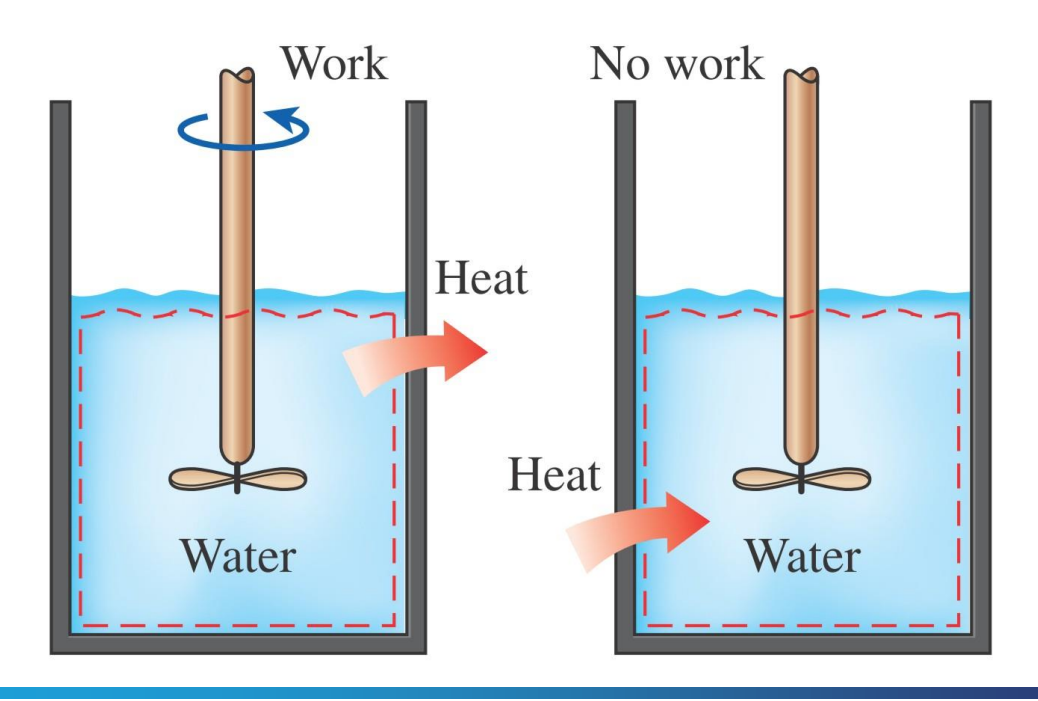
Il **secondo principio della termodinamica** introduce l'entropia ed un **verso** nelle trasformazioni termodinamiche.

Il lavoro può essere facilmente trasformato in energia interna mentre il processo inverso è possibile solo utilizzando una macchina termica.



Il **secondo principio della termodinamica** introduce l'entropia ed un verso nelle trasformazioni termodinamiche.

Il lavoro può essere facilmente trasformato in energia interna mentre il processo inverso è possibile solo utilizzando una macchina termica.





Propulsione Aerospaziale – PA0_1 Richiami Gas - astarita@unina.it

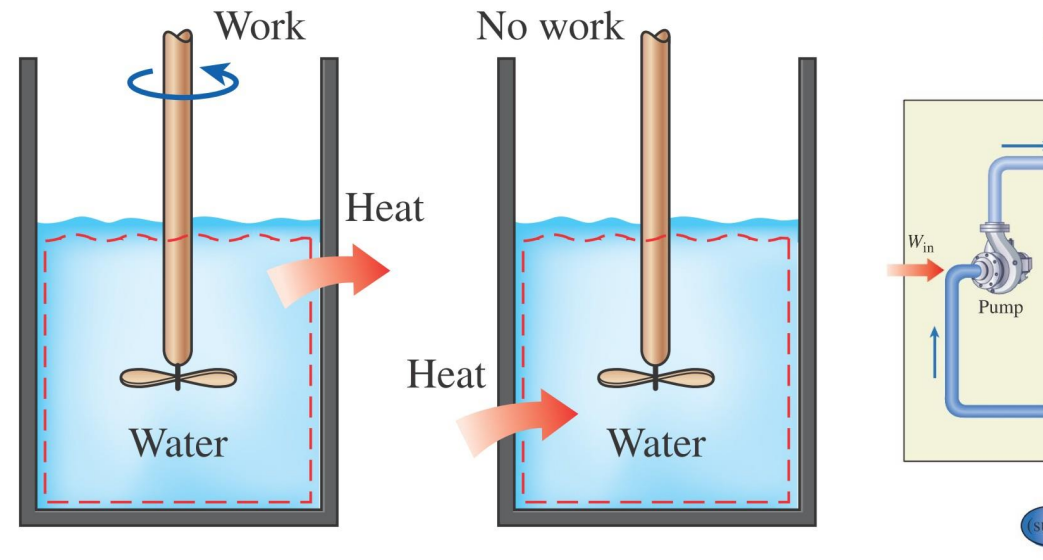
5

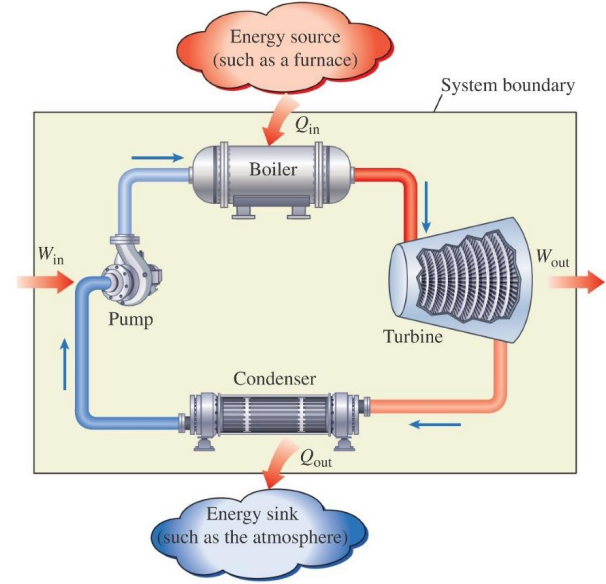
Termodinamica

Il **secondo principio della termodinamica** introduce l'entropia ed un verso nelle trasformazioni termodinamiche.

Il lavoro può essere facilmente trasformato in energia interna mentre il processo inverso è possibile solo utilizzando una macchina termica.

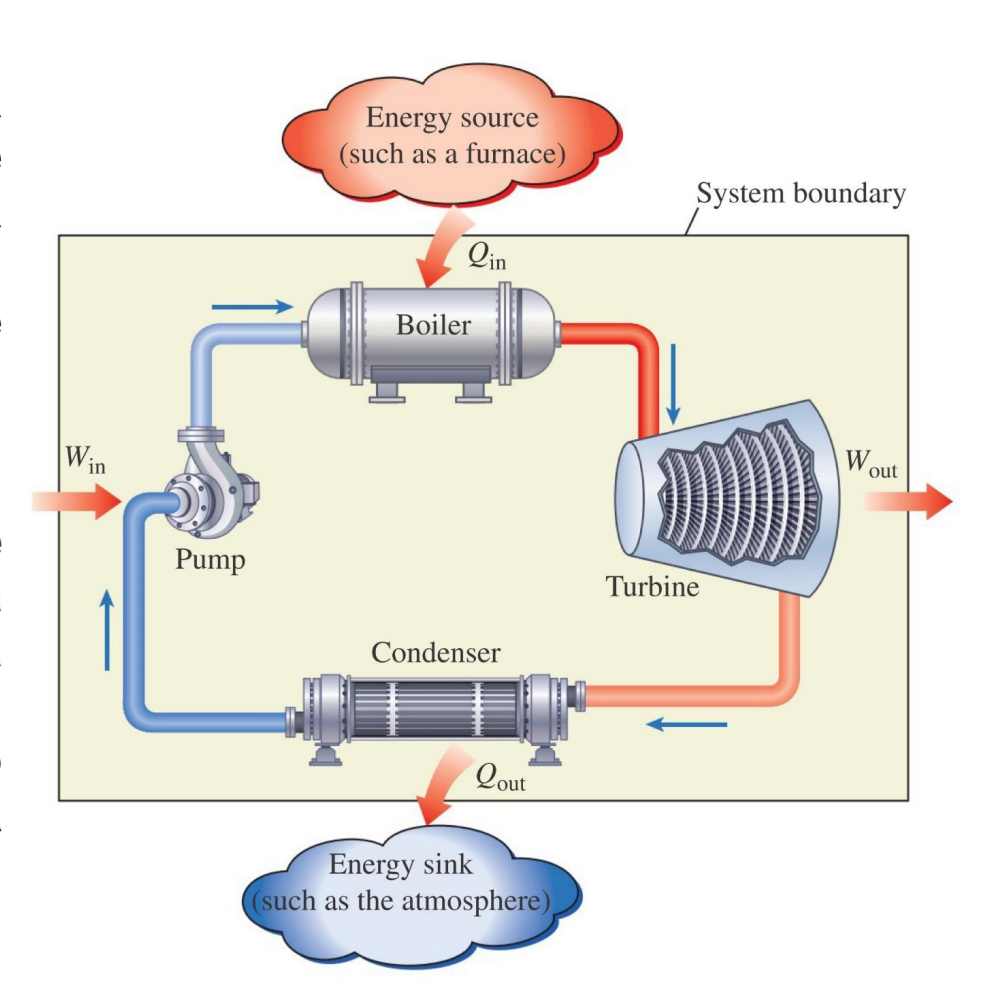
Ad esempio una centrale a vapore è schematizzata in figura.





L'evaporatore trasforma l'acqua in vapore fornendo certa una quantità di calore Q_{in} , nella turbina viene estratto il **lavoro** W_{out} , condensatore nel vapore condensa è nel processo cede il calore infine la pompa Q_{out} comprime l'acqua fornendo al sistema il lavoro W_{in} . Il lavoro dato dalla estratto è differenza dei due:

$$W_{net} = W_{out} - W_{in}$$





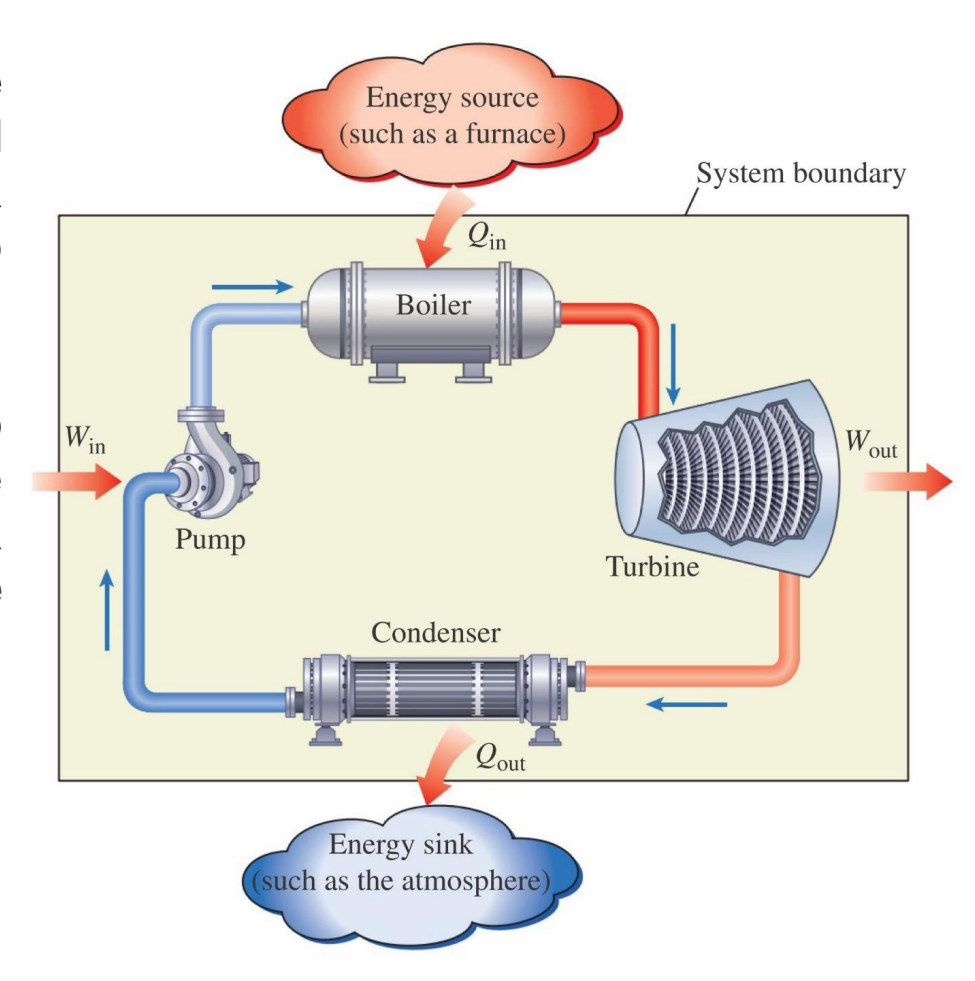
Propulsione Aerospaziale – PA0_1 Richiami Gas - astarita@unina.it

Termodinamica

Nella centrale a vapore l'acqua utilizzata nel ciclo è sempre la stessa quindi lo scambio netto di energia, in condizioni stazionarie, è nullo.

Pertanto il lavoro può essere calcolato anche come differenza della quantità di calore scambiato:

$$W_{net} = Q_{in} - Q_{out}$$



Se una trasformazione è **reversibile**, cioè quando la produzione di entropia è nulla, si ha:

$$dq = Tds$$
 $dw = pdv$

L'equazione di **Gibbs** collega le variabili termodinamiche, in termini energetici:

$$de = Tds - pdv$$

Mentre in termini entalpici:

$$dh = Tds + vdp$$

In un processo isentropico si ha:

$$\frac{p_2}{p_1} = \left(\frac{T_2}{T_1}\right)^{\frac{c_p}{R}} = \left(\frac{T_2}{T_1}\right)^{\frac{\gamma}{\gamma-1}} = \left(\frac{T_2}{T_1}\right)^{\frac{1}{k}} \qquad \frac{p_2}{p_1} = \left(\frac{\rho_2}{\rho_1}\right)^{\frac{c_p}{c_v}} = \left(\frac{\rho_2}{\rho_1}\right)^{\gamma}$$

$$\frac{\rho_2}{\rho_1} = \left(\frac{T_2}{T_1}\right)^{\frac{1}{\gamma-1}}$$



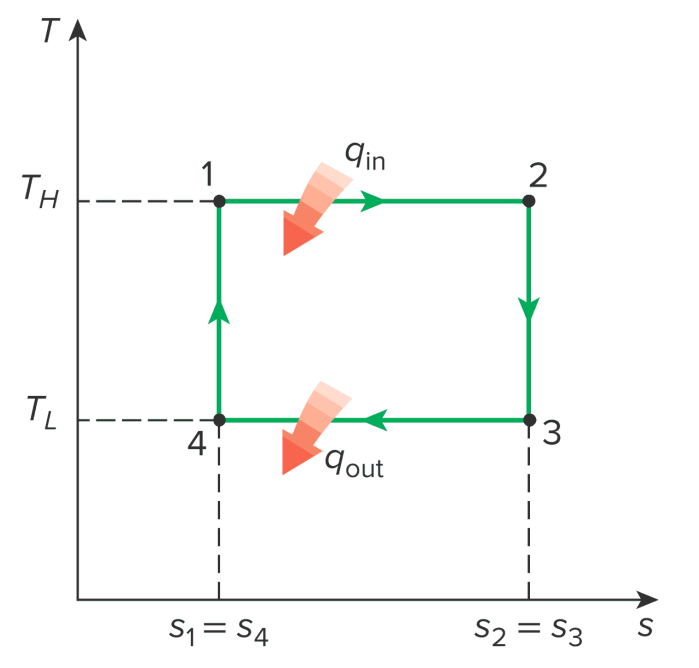
Propulsione Aerospaziale – PA0_1 Richiami Gas - astarita@unina.it

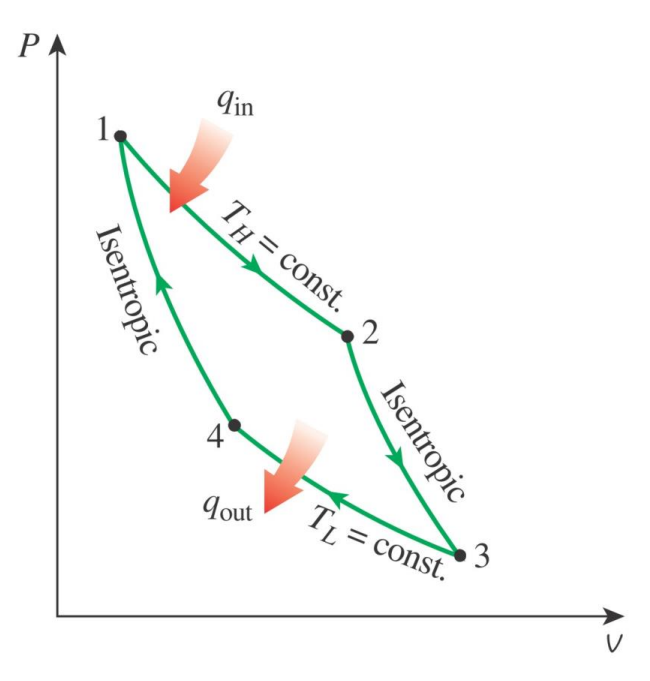
9

Termodinamica

EXAMPLE 9–1 Derivation of the Efficiency of the Carnot Cycle

Show that the thermal efficiency of a Carnot cycle operating between the temperature limits of T_H and T_L is solely a function of these two temperatures and is given by Eq. 9–2.





SOLUTION It is to be shown that the efficiency of a Carnot cycle depends on the source and sink temperatures alone.

Analysis The *T-s* diagram of a Carnot cycle is redrawn in Fig. 9–7. All four processes that comprise the Carnot cycle are reversible, and thus the area under each process curve represents the heat transfer for that process. Heat is transferred to the system during process 1-2 and rejected during process 3-4. Therefore, the amount of heat input and heat output for the cycle can be expressed as

$$q_{\text{in}} = T_H(s_2 - s_1)$$
 and $q_{\text{out}} = T_L(s_3 - s_4) = T_L(s_2 - s_1)$



Propulsione Aerospaziale - PA0_1 Richiami Gas - astarita@unina.it

19

Termodinamica

SOLUTION It is to be shown that the efficiency of a Carnot cycle depends on the source and sink temperatures alone.

Analysis The *T-s* diagram of a Carnot cycle is redrawn in Fig. 9–7. All four processes that comprise the Carnot cycle are reversible, and thus the area under each process curve represents the heat transfer for that process. Heat is transferred to the system during process 1-2 and rejected during process 3-4. Therefore, the amount of heat input and heat output for the cycle can be expressed as

$$q_{\text{in}} = T_H(s_2 - s_1)$$
 and $q_{\text{out}} = T_L(s_3 - s_4) = T_L(s_2 - s_1)$

since processes 2-3 and 4-1 are isentropic, and thus $s_2=s_3$ and $s_4=s_1$. Substituting these into Eq. 9–1, we see that the thermal efficiency of a Carnot cycle is

$$\eta_{\text{th}} = \frac{w_{\text{net}}}{q_{\text{in}}} = 1 - \frac{q_{\text{out}}}{q_{\text{in}}} = 1 - \frac{T_L(s_2 - s_1)}{T_H(s_2 - s_1)} = 1 - \frac{T_L}{T_H}$$

Equazioni di bilancio

Nel caso di gas più che perfetto ricordando la definizione del numero di Mach si ha:

$$\begin{split} h_t &= h + \frac{V^2}{2} & \rightarrow & T_t = T \left(1 + \frac{V^2}{2c_pT} \right) = T \left(1 + \frac{V^2}{2\frac{c_p}{R}RT} \right) \\ &= T \left(1 + \frac{V^2}{2\frac{\gamma}{\nu - 1}RT} \right) = T \left(1 + \frac{\gamma - 1}{2}\frac{V^2}{\gamma RT} \right) = T \left(1 + \frac{\gamma - 1}{2}M^2 \right) = T \psi \end{split}$$

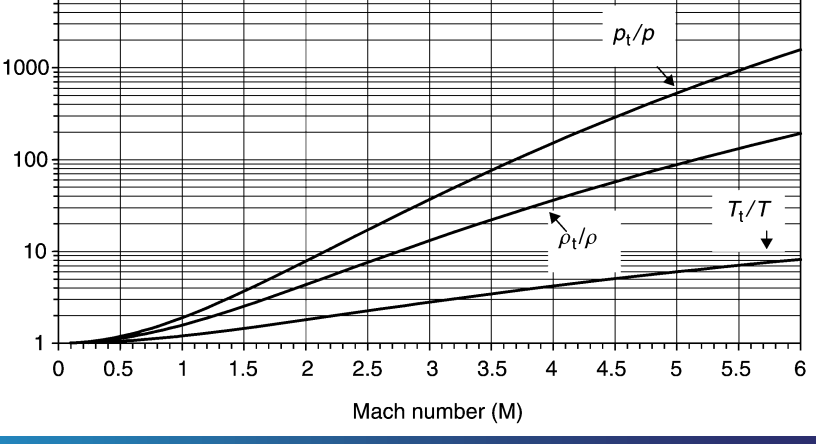
Dove si è introdotta la quantità:10000

$$\psi = 1 + \frac{\gamma - 1}{2}M^2$$

Nell'ipotesi di moto isentropico:

$$\frac{p_t}{p} = \left(\frac{T_t}{T}\right)^{\frac{\gamma}{\gamma - 1}} = \left(\frac{T_t}{T}\right)^{\frac{1}{k}} = \psi^{\frac{1}{k}}$$



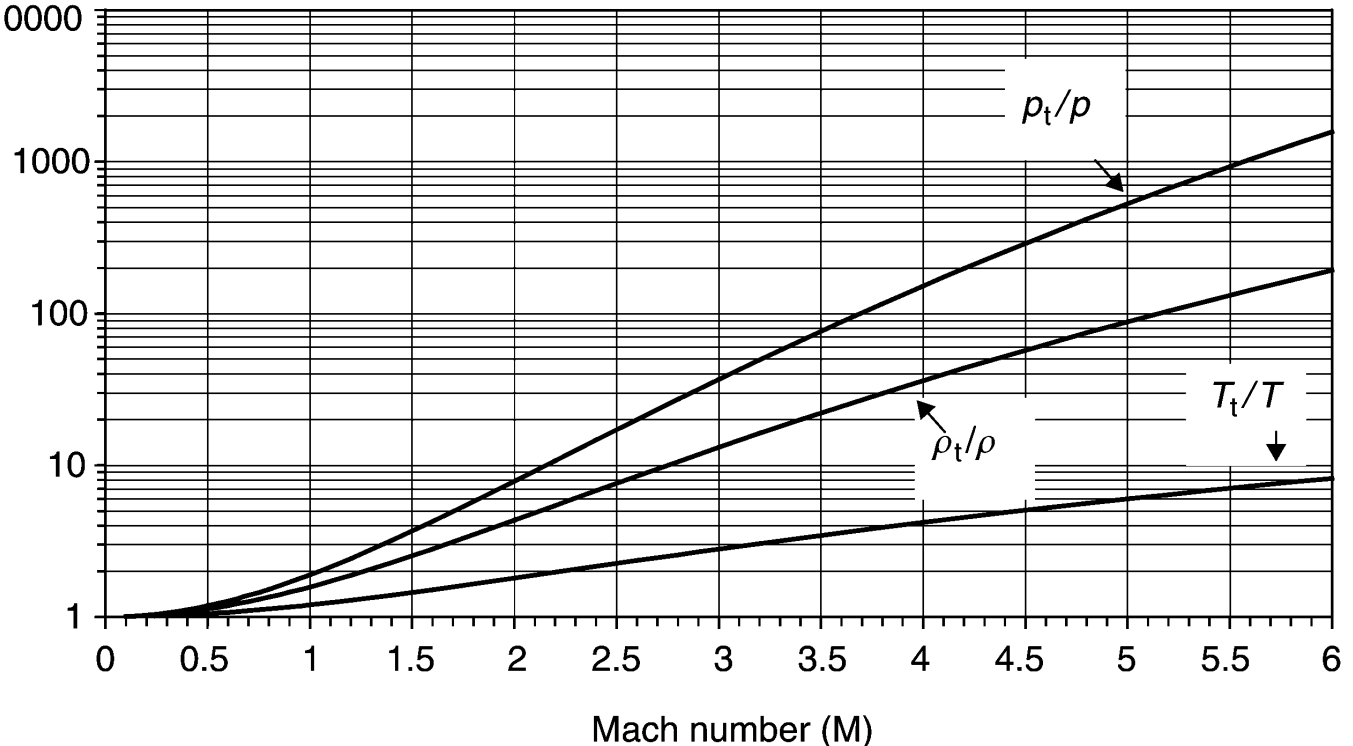


31

Equazioni di bilancio

$$\frac{T_t}{T} = +\frac{\gamma - 1}{2}M^2 = \psi \qquad \qquad \frac{p_t}{p} = \left(\frac{T_t}{T}\right)^{\frac{1}{k}} = \psi^{\frac{1}{k}} \qquad \qquad \frac{\rho_t}{\rho} = \left(\frac{T_t}{T}\right)^{\frac{1}{\gamma - 1}} = \psi^{\frac{1}{\gamma - 1}}$$

$$10000$$



La portata in un ugello, nelle ipotesi di moto adiabatico ed isentropico, può essere espressa come:

$$\dot{m} = \rho V A = \frac{p}{RT} M a A = \frac{p}{p_t} p_t M \frac{\sqrt{\gamma RT}}{RT} A = \frac{p}{p_t} p_t M \frac{\gamma}{\sqrt{\gamma RT_t}} \sqrt{\frac{T_t}{T}} A$$

Ricordando che $\frac{T_t}{T} = \psi$, $\frac{p_t}{n} = \psi^{\frac{1}{k}}$, $k = \frac{\gamma - 1}{\gamma}$ si ha:

$$\dot{\boldsymbol{m}} = \frac{p_t A}{a_t} \gamma M \psi^{-\frac{1}{k}} \psi^{\frac{1}{2}} = \frac{p_t A}{a_t} \gamma M \psi^{-\frac{2-k}{2k}} = \frac{\boldsymbol{p_t A}}{\boldsymbol{a_t}} \gamma M \psi^{-\frac{\gamma+1}{2(\gamma-1)}} = \frac{\boldsymbol{p_t A}}{\boldsymbol{a_t}} \boldsymbol{\Psi}$$

Dove Ψ è il **fattore d'efflusso**. Indicando con $K = \frac{\gamma+1}{2(\gamma-1)}$ si ha:

$$\Psi(\gamma, M) = \gamma M \left(1 + \frac{\gamma - 1}{2} M^2\right)^{-\frac{\gamma + 1}{2(\gamma - 1)}} = \gamma M \psi^{-K}$$

La minima area possibile si ha in condizioni di flusso critico, per questo motivo ha senso valutare la portata anche in condizioni critiche.



Propulsione Aerospaziale – PA0_1 Richiami Gas - astarita@unina.it

39

Moto quasi unidimensionale

Le condizioni critiche sono indicate con un asterisco si ha quindi :

$$\dot{m} = \frac{p_t A}{a_t} \Psi = \frac{p_t A^*}{a_t} \Psi^* \qquad \rightarrow \qquad A \Psi = A^* \Psi^* \qquad \rightarrow \qquad \frac{A}{A^*} = \frac{\Psi^*}{\Psi}$$

Ricordando che $\Psi(\gamma, M) = \gamma M \left(1 + \frac{\gamma - 1}{2} M^2\right)^{-\frac{(\gamma + 1)}{2(\gamma - 1)}}$ si ha:

$$\frac{A}{A^*} = \frac{\Psi^*}{\Psi} = \frac{\gamma \left(\frac{\gamma + 1}{2}\right)^{-K}}{\gamma M \left(1 + \frac{\gamma - 1}{2} M^2\right)^{-K}} = \frac{1}{M} \left[\frac{2}{\gamma + 1} \left(1 + \frac{\gamma - 1}{2} M^2\right)\right]^{K}$$

A cui si aggiungono le:

$$\frac{T_t}{T} = 1 + \frac{\gamma - 1}{2}M^2 = \psi$$
 $\frac{p_t}{p} = \left(1 + \frac{\gamma - 1}{2}M^2\right)^{\frac{1}{k}} = \psi^{\frac{1}{k}}$

$$\frac{\rho_t}{\rho} = \left(1 + \frac{\gamma - 1}{2}M^2\right)^{\frac{1}{\gamma - 1}} = \psi^{\frac{1}{\gamma - 1}}$$



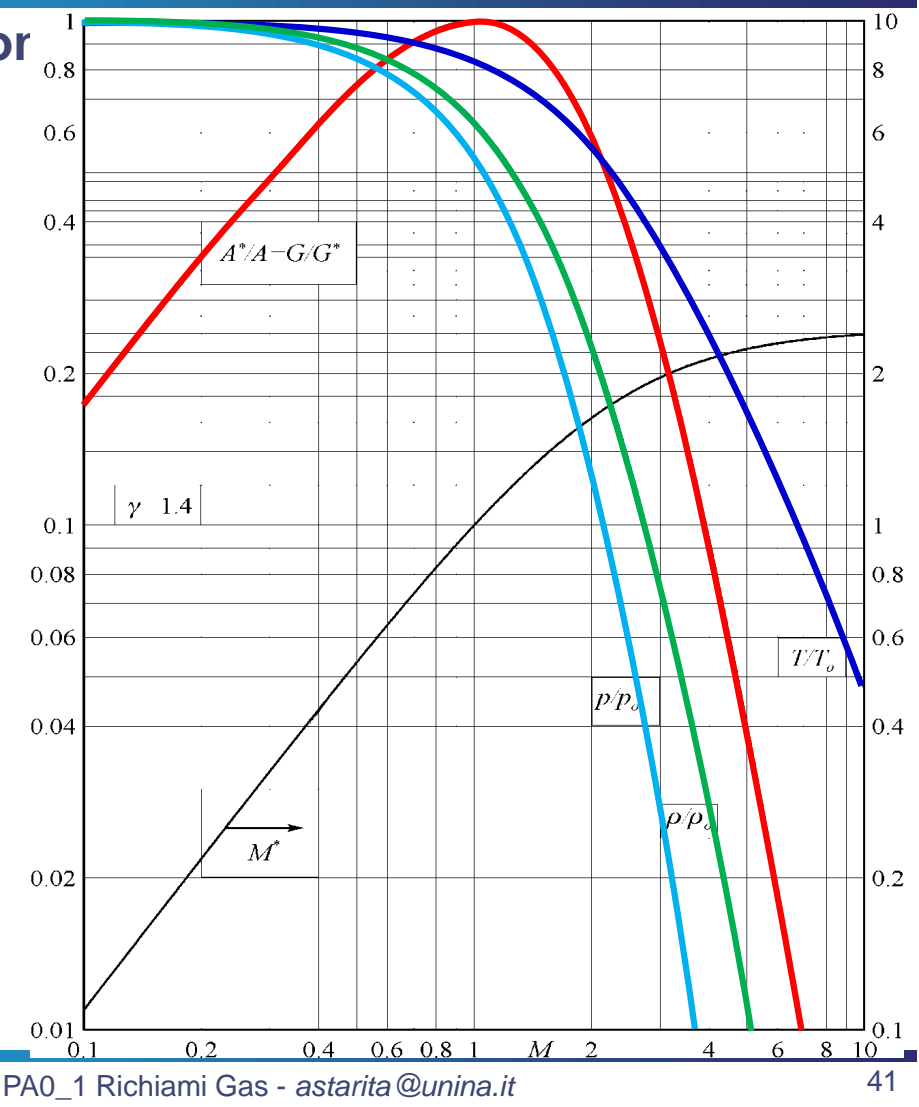
Moto quasi unidimensior

$$\frac{T}{T_t} = \left(1 + \frac{\gamma - 1}{2}M^2\right)^{-1}$$

$$\frac{\rho}{\rho_t} = \left(1 + \frac{\gamma - 1}{2}M^2\right)^{-\frac{1}{\gamma - 1}}$$

$$\frac{p}{p_t} = \left(1 + \frac{\gamma - 1}{2}M^2\right)^{-\frac{\gamma}{\gamma - 1}}$$

$$\frac{A}{A^*} = \frac{\Psi^*}{\Psi} = \frac{1}{M} \left[\frac{2}{\gamma + 1} \psi \right]^K$$



Tutti i rapporti si leggono sulla scala di sinistra,



Propulsione Aerospaziale – PA0_1 Richiami Gas - astarita@unina.it

Moto quasi unidimensionale

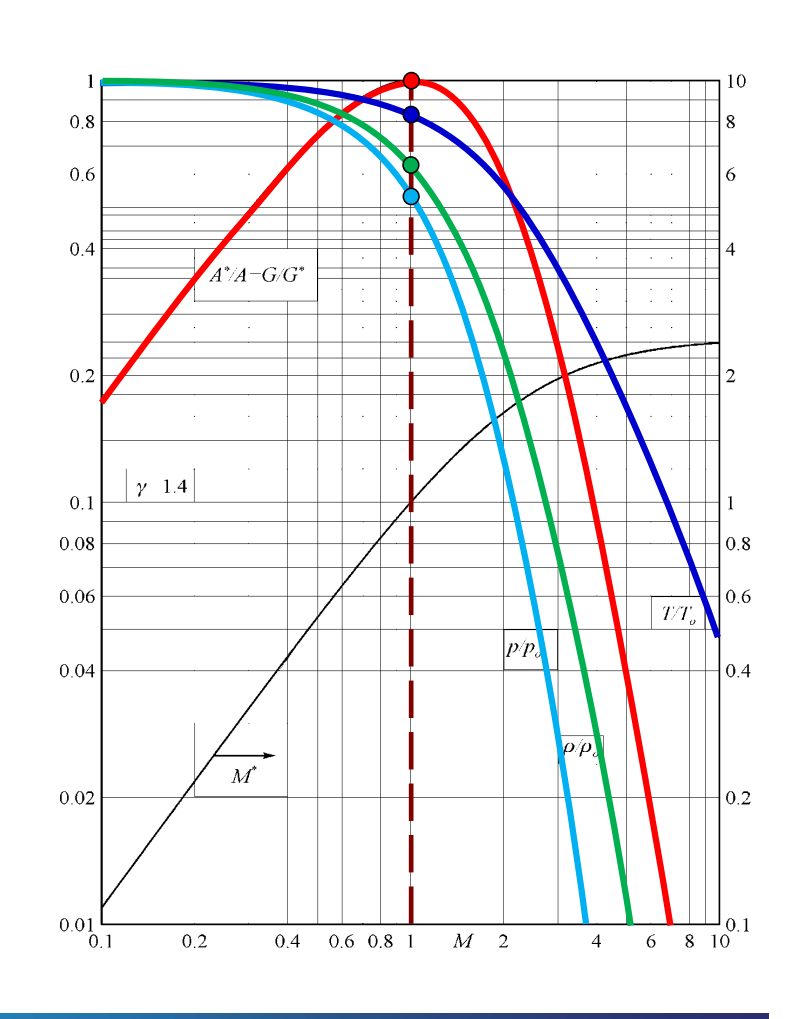
In condizioni critiche si ha:

$$\frac{T^*}{T_t} = \frac{2}{\gamma + 1} = 0.8333$$

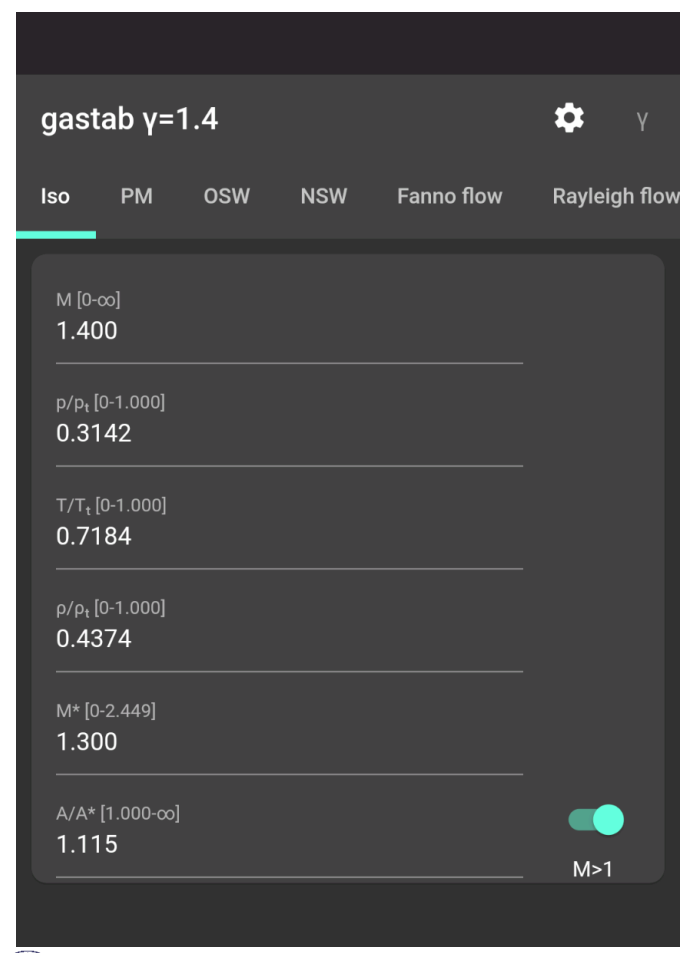
$$\frac{\rho^*}{\rho_t} = \left(\frac{2}{\gamma + 1}\right)^{\frac{1}{\gamma - 1}} = 0.6339$$

$$\frac{p^*}{p_t} = \left(\frac{2}{\gamma + 1}\right)^{\frac{\gamma}{\gamma - 1}} = 0.5283$$

$$\frac{A}{A^*} = \frac{\Psi^*}{\Psi} = 1$$



GasTab (android) - Gas dynamics Tables





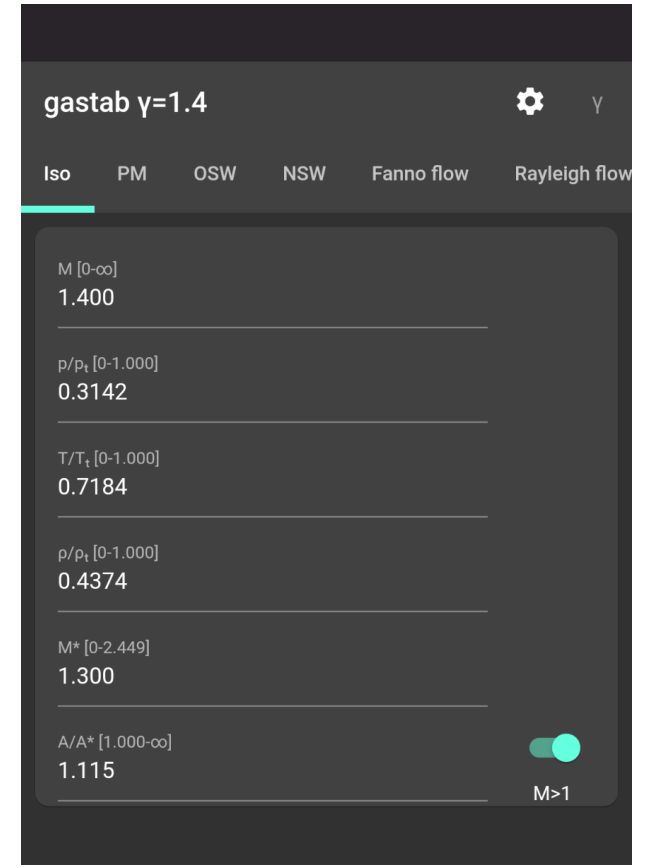


Propulsione Aerospaziale – PA0_1 Richiami Gas - astarita@unina.it

43

GasTab (ios-web) - Gas dynamics Tables

https://pairs.unina.it/astarita/GasTab/





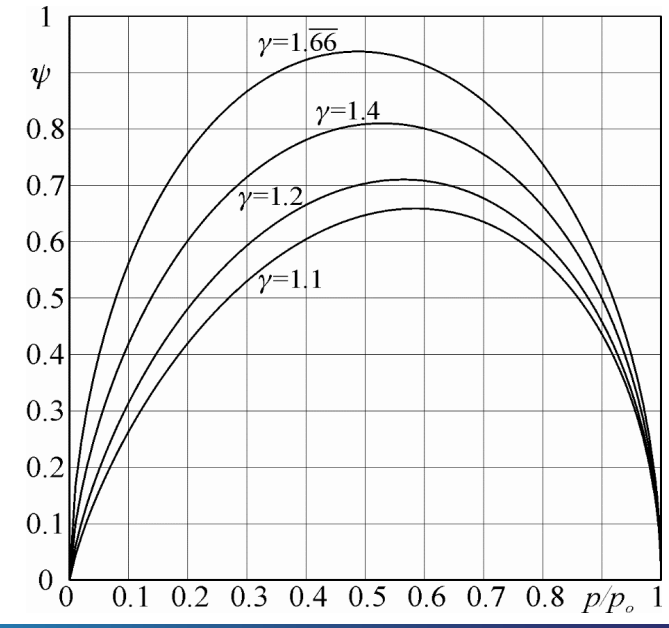


Utilizzando la:

$$\frac{p_t}{p} = \left(1 + \frac{\gamma - 1}{2}M^2\right)^{\frac{1}{k}} = \psi^{\frac{1}{k}}$$

Il fattore d'efflusso può essere anche espresso come:

$$\Psi = \frac{\dot{m}a_t}{p_t A} = \sqrt{\frac{2\gamma^2}{\gamma - 1} \left(\frac{p}{p_t}\right)^{\frac{2}{\gamma}} \left[1 - \left(\frac{p}{p_t}\right)^{-k}\right]}$$





Propulsione Aerospaziale - PA0_1 Richiami Gas - astarita@unina.it

45

Moto quasi unidimensionale

$$\frac{p}{p_t} = \left(1 + \frac{\gamma - 1}{2}M^2\right)^{-\frac{1}{k}} \quad \psi$$

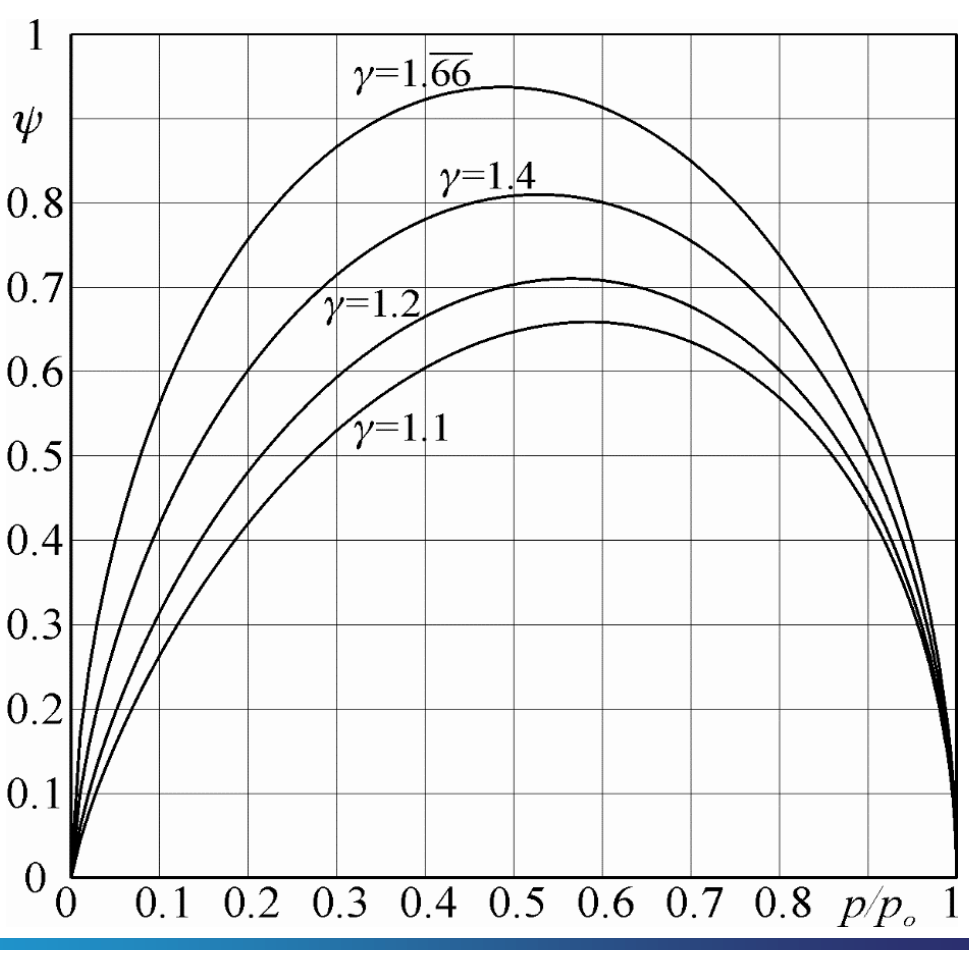
fra le 0.8 rapporto pressioni p/p_t è una funzione strettamente decrescente di M.

L'asse x può essere $_{0.5}$ visto anche come un inversamente 0.4 asse proporzionale numero di Mach.

per:

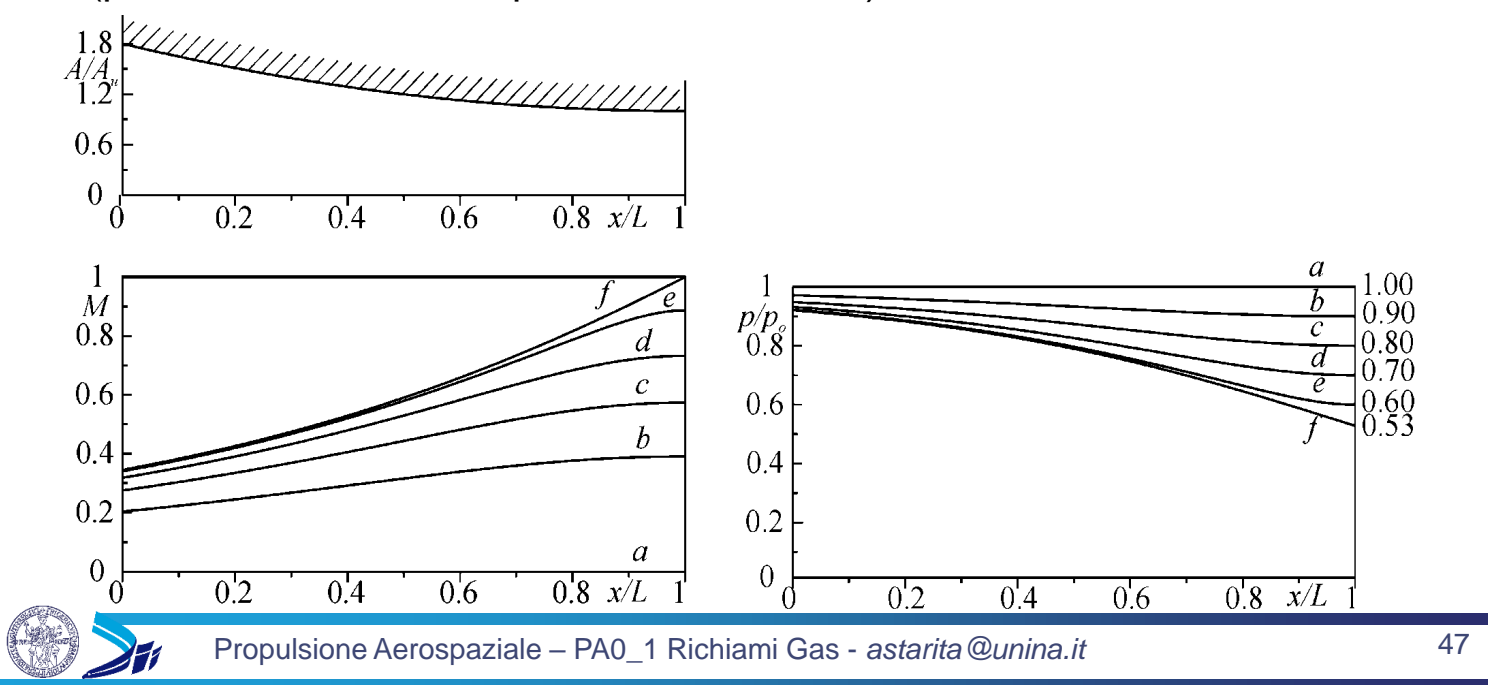
$$\frac{p}{p_t} = \frac{p^*}{p_t}$$

Il massimo di Ψ si ha $^{0.2}$



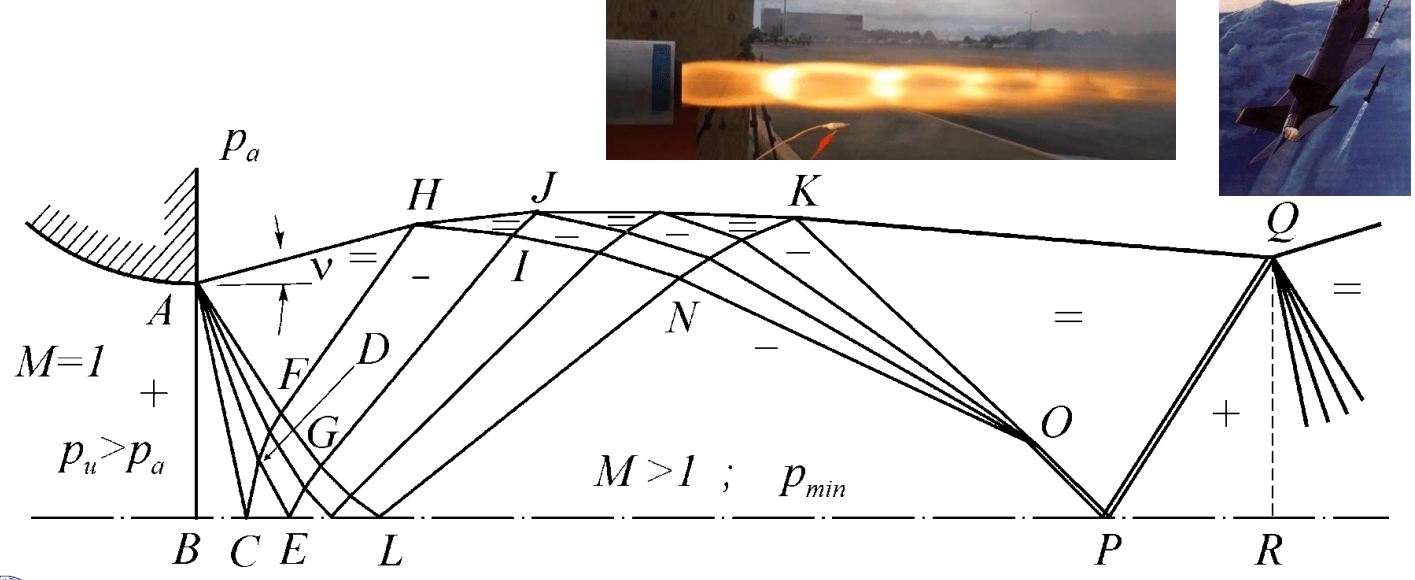
Le **curve di funzionamento** in un ugello convergente sono mostrate in figura. Si hanno **due** tipi di funzionamento:

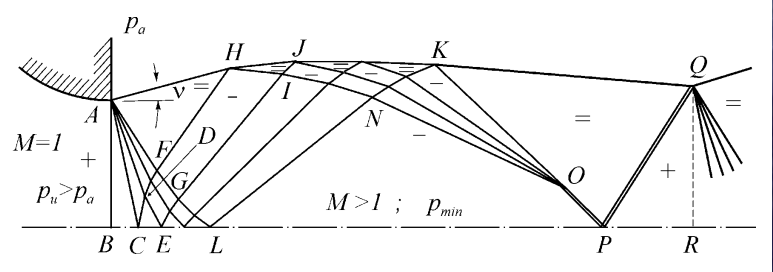
1. Per rapporti di pressione p_a/p_t compresi tra $p/p_t = p^*/p_t$ e 1 la pressione del fluido all'uscita dell'ugello deve necessariamente essere **uguale** a quella **ambiente**, cioè deve rispettare la cosiddetta **condizione di Kutta** (pressione ambiente = pressione all'uscita).



Moto quasi unidimensionale

2. Per rapporti di pressione inferiori a p^*/p_t il moto si dice **strozzato** o **sottoespanso:** la corrente non riesce a **completare** nell'ugello stesso la sua espansione fino alla **pressione ambiente**. Il motivo per cui viene utilizzato l'aggettivo strozzato è dovuto al fatto che se la pressione di ristagno è costante, la **portata di massa** effluente dall'ugello resta **costante** al diminuire della **pressione ambiente** dal valore p^* sino al vuoto più assoluto.









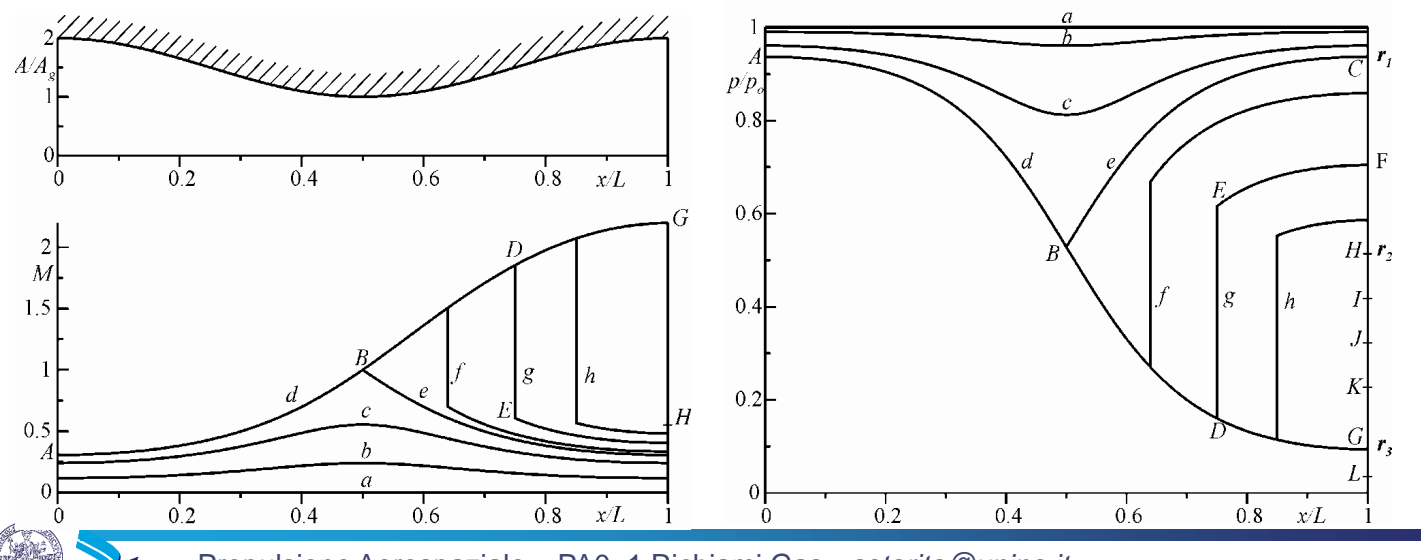


Propulsione Aerospaziale – PA0_1 Richiami Gas - astarita@unina.it

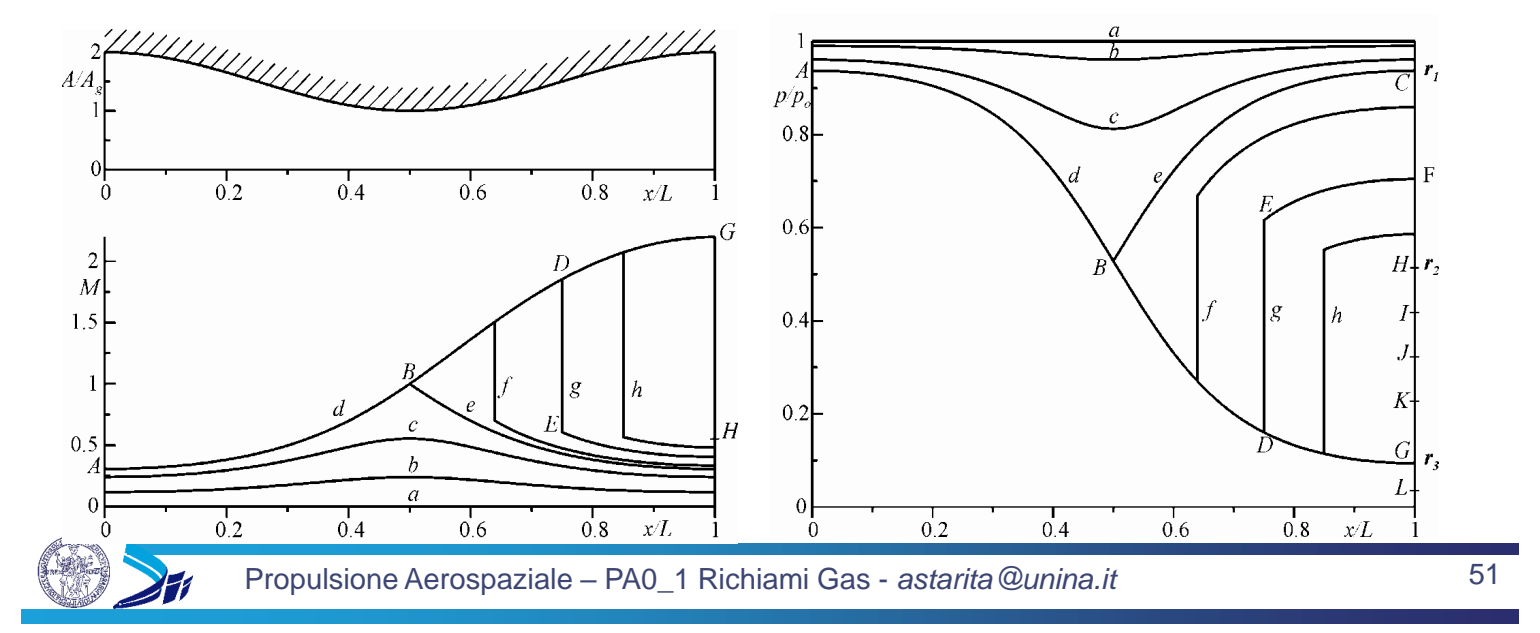
49

Moto quasi unidimensionale

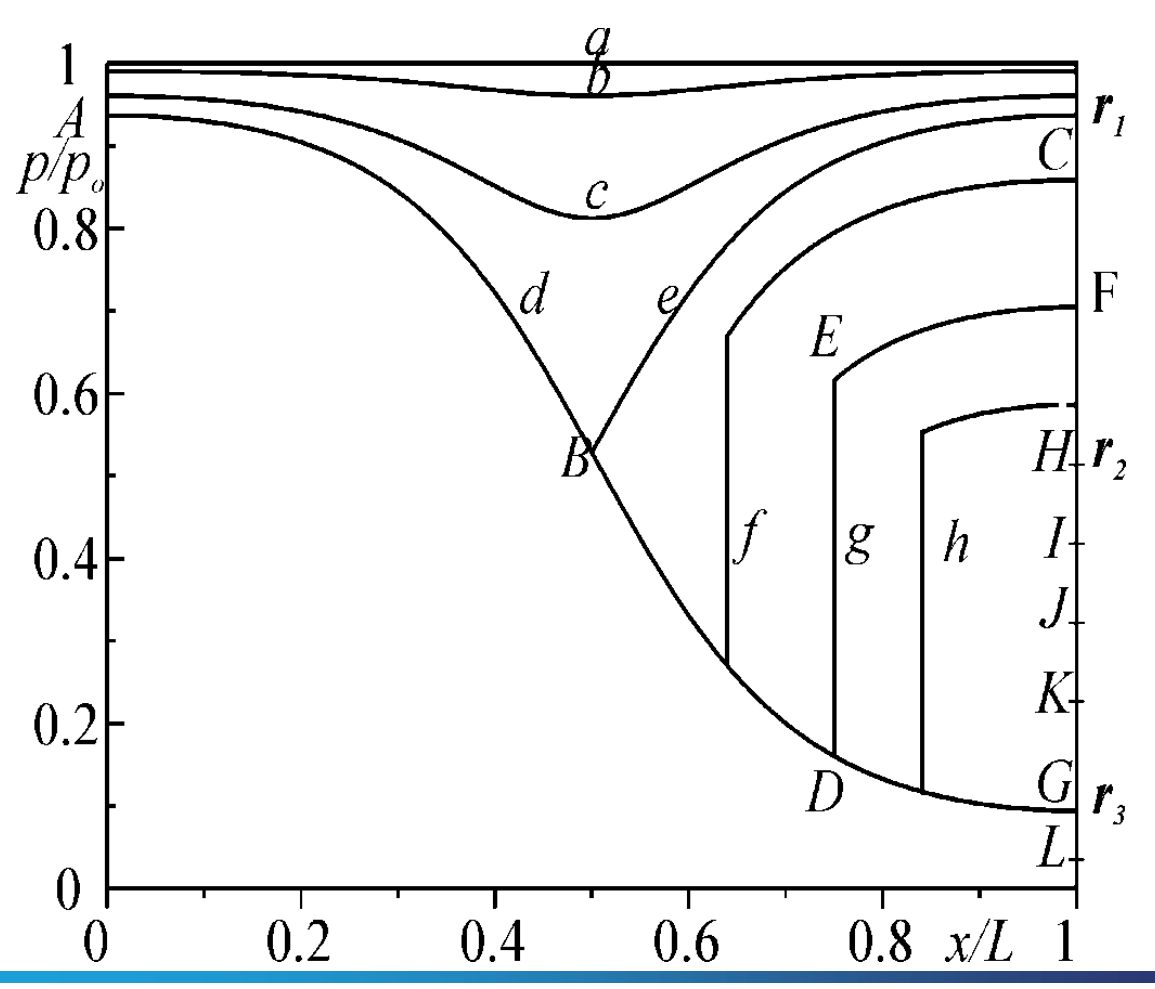
Le curve di funzionamento in un ugello convergente divergente sono mostrate in figura. Si possono definire tre rapporti di pressione caratteristici r_1 , r_2 e r_3 e si hanno quattro tipi di funzionamento diversi al variare della pressione ambiente.



In particolare, il rapporto r_1 è relativo a condizioni di uscita **subsoniche** mentre r_3 a condizioni di uscita **supersoniche**. Il rapporto r_2 si ottiene moltiplicando il rapporto r_3 per il rapporto tra le pressioni statiche a valle e a monte di **un'onda d'urto normale** posta nella sezione di **uscita dell'ugello**. L'onda d'urto avviene ad un numero di Mach corrispondente al punto r_3 (con abuso di simbologia si confonderà il punto con il rapporto caratteristico).



Moto quasi unidimensionale



- r, Riassumendo:
 - r₁ < p_a/p_t regime alla Venturi; la corrente è ovunque subsonica nell'ugello con un minimo della pressione (massimo della velocità e del numero di Mach) nella sezione di gola; è valida la condizione di Kutta.
 - $r_2 < p_a/p_t < r_1$ regime con **onda** d'**urto** nel **divergente**; la corrente percorre un tratto del divergente in regime **supersonico**, ma, per la presenza dell'onda d'urto, l'efflusso dall'ugello è subsonico; è **valida** la **condizione di Kutta**.
 - $r_3 < p_a/p_t < r_2$ **ugello sovraespanso**; l'efflusso dall'ugello è **supersonico**, la **pressione** nella sezione di **uscita** dell'ugello è **minore** di quella **ambiente**; la corrente si porta alla p_a con un'onda d'urto obliqua esterna; **non** è **valida** la **condizione** di **Kutta**.
 - $p_a/p_t < r_3$ **ugello sottoespanso**; l'efflusso dall'ugello è **supersonico**, la **pressione** nella sezione di **uscita** dell'ugello è **maggiore** di quella **ambiente**; la corrente continua ad espandere al di fuori dell'ugello fino a p_a con un ventaglio di espansione; **non** è **valida** la **condizione di Kutta**.



F

 $H_{\mathbf{r}_2}$

Propulsione Aerospaziale – PA0_1 Richiami Gas - astarita@unina.it

55

Moto quasi unidimensionale

